

LANCE

Servicio Clima Espacial

Reporte Semanal



CENAPRED
CENTRO NACIONAL DE
PREVENCIÓN DE DESASTRES

AEM AGENCIA
ESPACIAL
MEXICANA

CONDICIONES DEL SOL

Niveles muy bajos de actividad

Regiones Activas (RA): No hay regiones activas

Hoyos coronales: Se registraron hoyos coronales en los polos y una extensión de gran tamaño que cruza el ecuador.

Fulguraciones solares: No se registraron eventos.

Eyecciones de masa coronal: 1 lenta que no se dirigió hacia la Tierra.

CONDICIONES DEL MEDIO INTERPLANETARIO

No se registró ninguna región de interacción cercana a la Tierra durante la semana.

CONDICIONES DE MAGNETÓSFERA

Índice K local: No se registró ninguna perturbación geomagnética.

Índice Dst: No se registró ninguna perturbación.

CONDICIONES DE LA IONOSFERA

Se registró una perturbación TEC negativa el día 18 de agosto.

CONDICIONES DE RAYOS CÓSMICOS SOBRE MÉXICO

No se detectaron cambios significativos en el flujo de partículas.

PRONÓSTICOS

Seguimos en condiciones de actividad mínima

Viento solar:

- Se pronostica la llegada de una región de interacción en las próximas horas. Sus efectos se esperan moderados.

Fulguraciones solares:

- No se esperan fulguraciones para los siguientes días.

Tormentas ionosféricas:

- No se esperan perturbaciones en los próximos días.

Tormentas geomagnéticas:

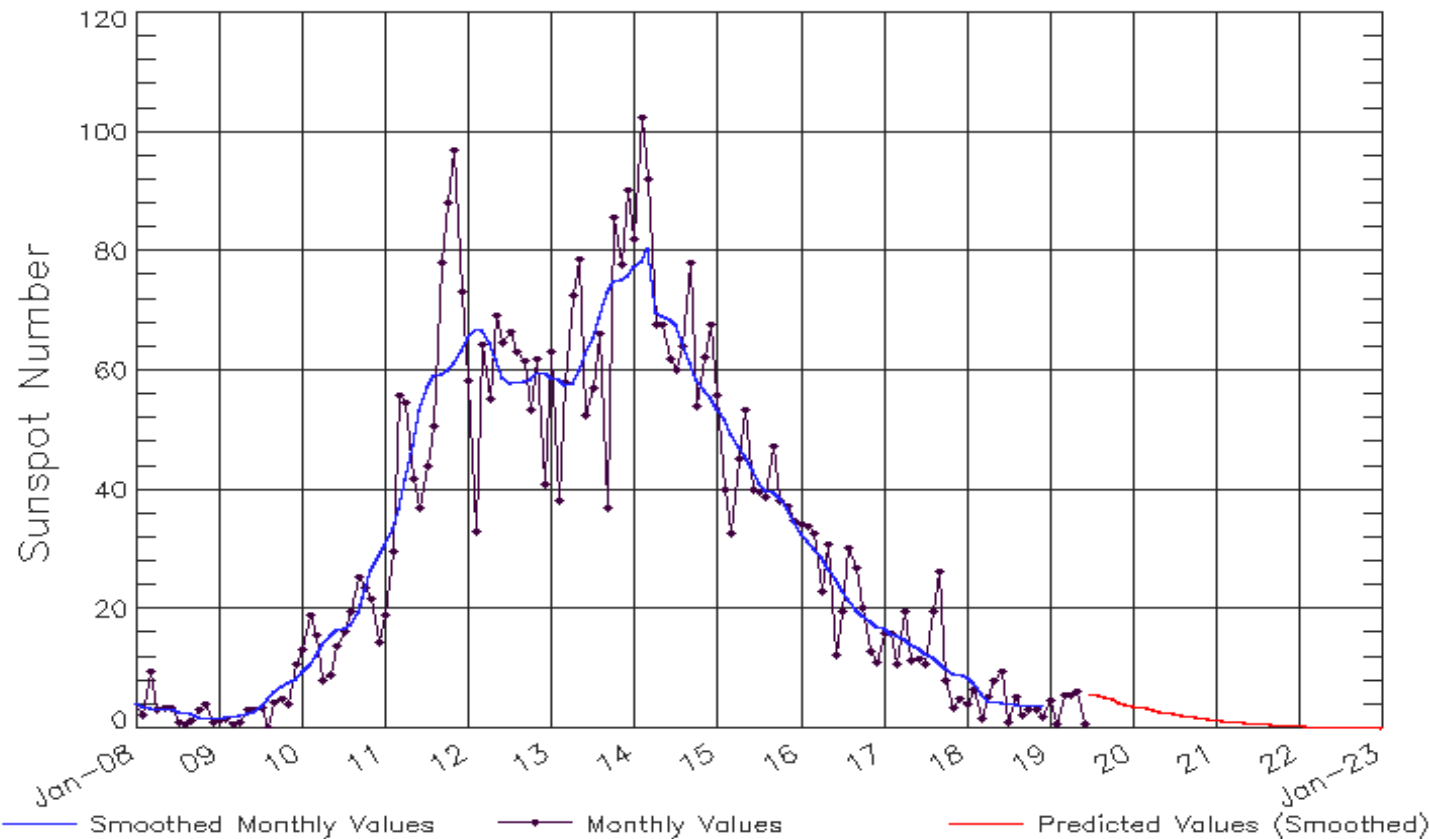
- No se esperan perturbaciones geomagnéticas en los próximos días.

Tormentas de radiación solar:

- Debido a la poca actividad, no se esperan tormentas en los siguientes días.

Ciclo de manchas solares y la actividad solar

ISES Solar Cycle Sunspot Number Progression
Observed data through Jun 2019



Updated 2019 Jul 8

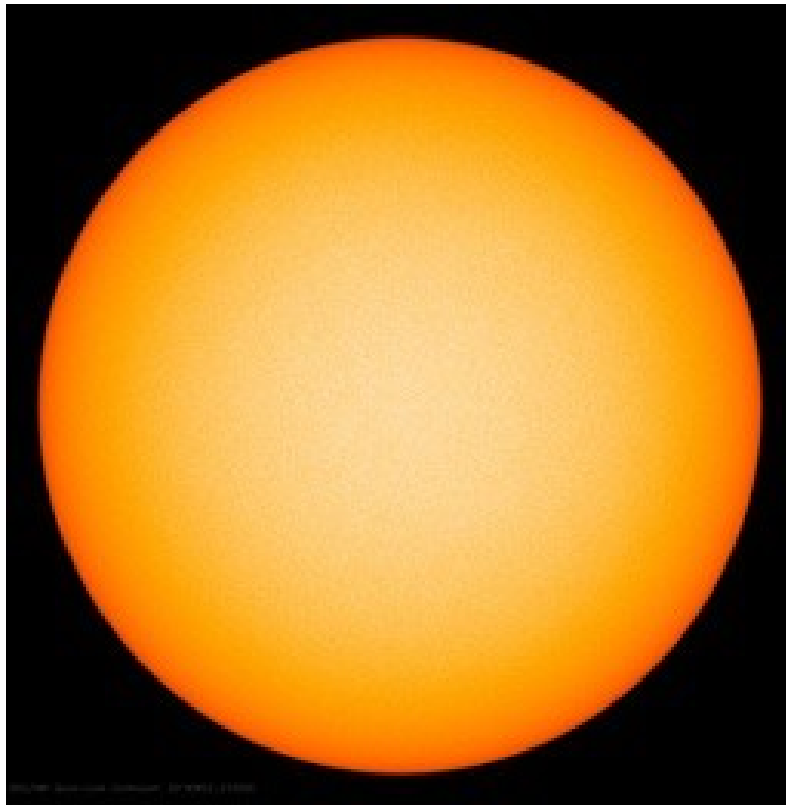
NOAA/SWPC Boulder, CO USA

<http://www.swpc.noaa.gov/products/solar-cycle-progression>

La figura muestra el conteo del número de manchas solares desde enero del 2008.

Entre más manchas solares presente el Sol, es mayor la posibilidad de que ocurra una tormenta solar.

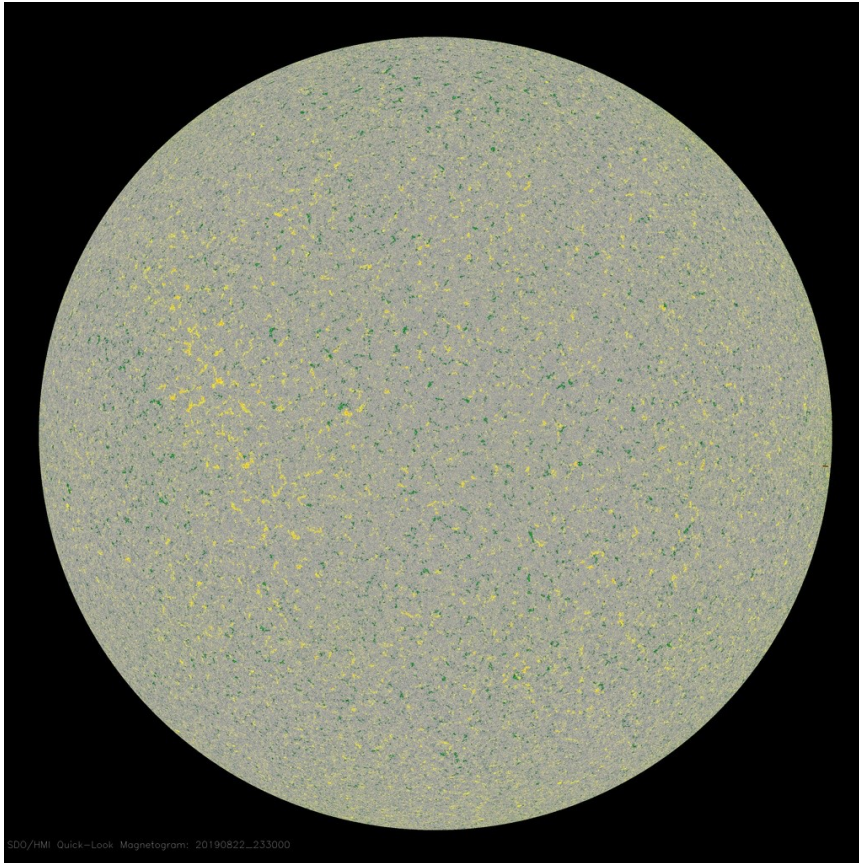
Estamos en el mínimo de manchas solares del ciclo 24.



La fotosfera es la zona “superficial” del Sol, donde aparecen las manchas solares. Regiones oscuras formadas por material más frío que sus alrededores y que contienen intensos campos magnéticos. Las manchas solares están relacionadas con la actividad solar.

La imagen de la fotosfera del 22 de agosto muestra una superficie sin regiones activas.

<http://sdo.gsfc.nasa.gov/data/>



Un magnetograma solar permite identificar las regiones de intensos campos magnéticos solares. En general, estos campos magnéticos están asociados a manchas solares.

Las regiones de color amarillo (verde) son zonas por donde salen (entran) líneas de campo magnético, correspondientes a polaridad positiva (negativa).

Magnetograma del Sol al 22 de agosto:

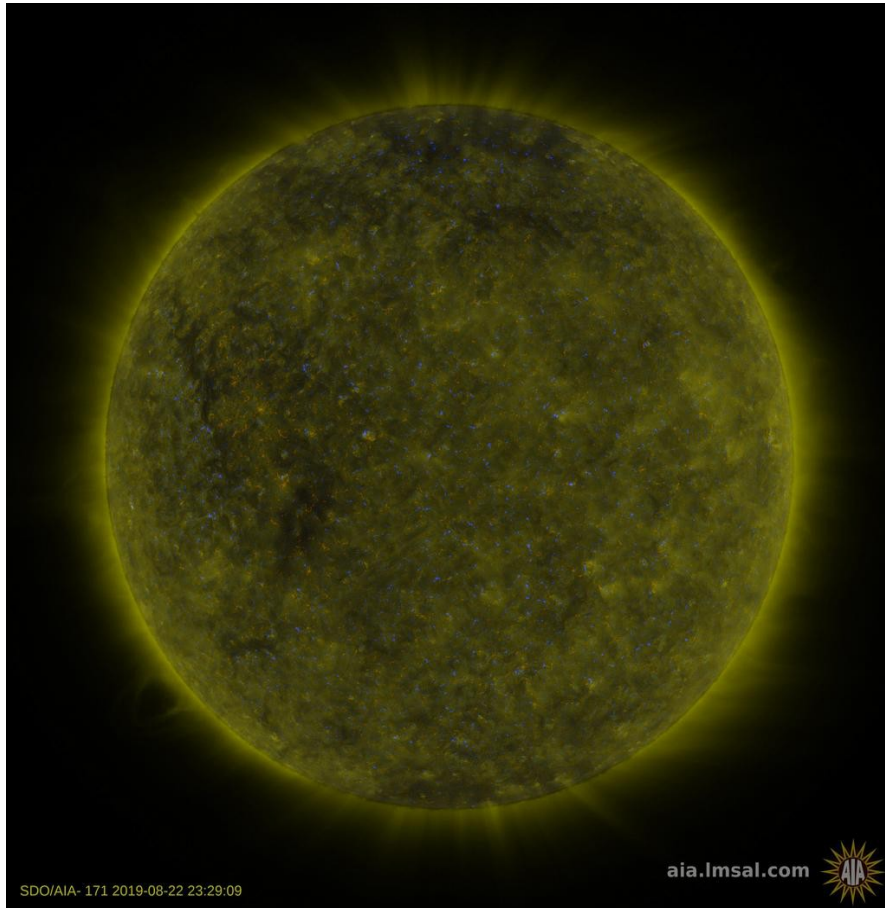
El magnetograma no muestra regiones con campo magnético intenso asociadas con manchas solares.

<http://sdo.gsfc.nasa.gov/data/>

Atmósfera solar y regiones activas

LANCÉ

Servicio Clima Espacial



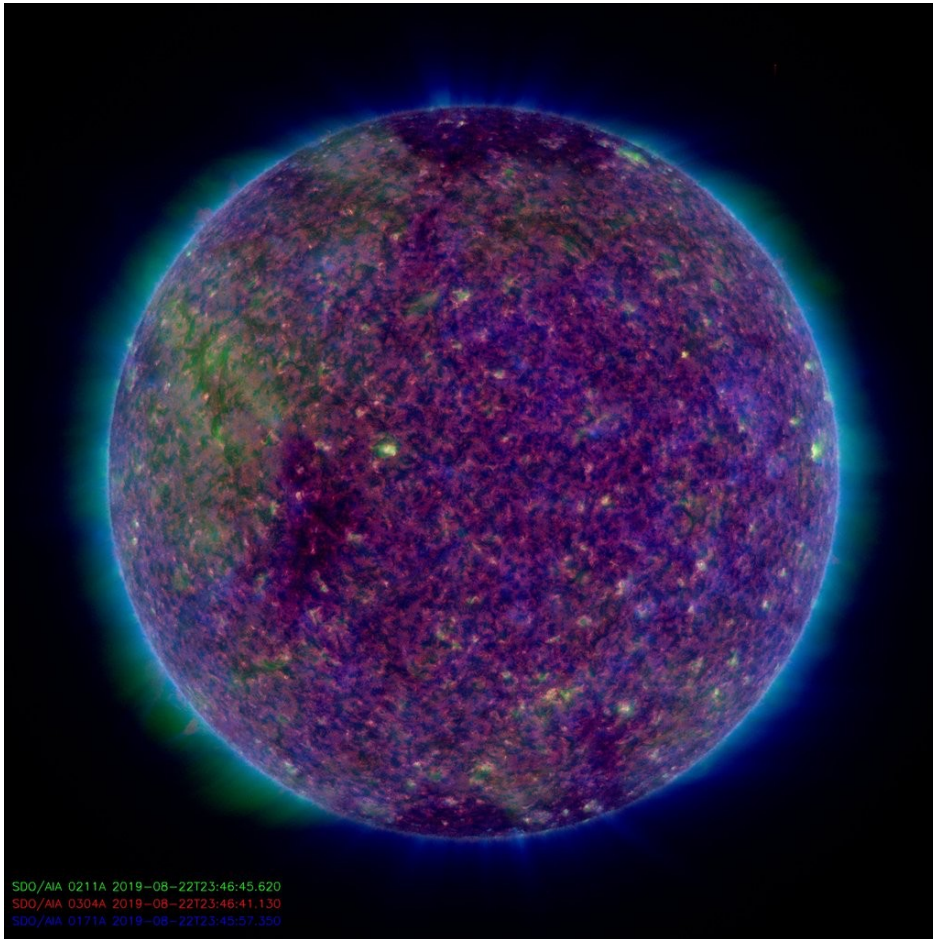
El Sol en rayos X suaves (171 Å). La emisión de Fe IX y X revela la estructura magnética en la región de la atmósfera solar llamada corona solar que se encuentra a 630,000 K.

Las regiones activas (zonas claras) son los lugares donde se presentan los fenómenos de actividad solar más importantes. Las regiones activas están regularmente asociadas a las manchas solares.

El Sol al 22 de agosto:

No se observan regiones activas.

<http://sdo.gsfc.nasa.gov/data/>



El Sol en rayos X suaves (211 Å). La emisión de Fe XIV revela la estructura magnética en la alta corona que se encuentra a 2,000,000 K.

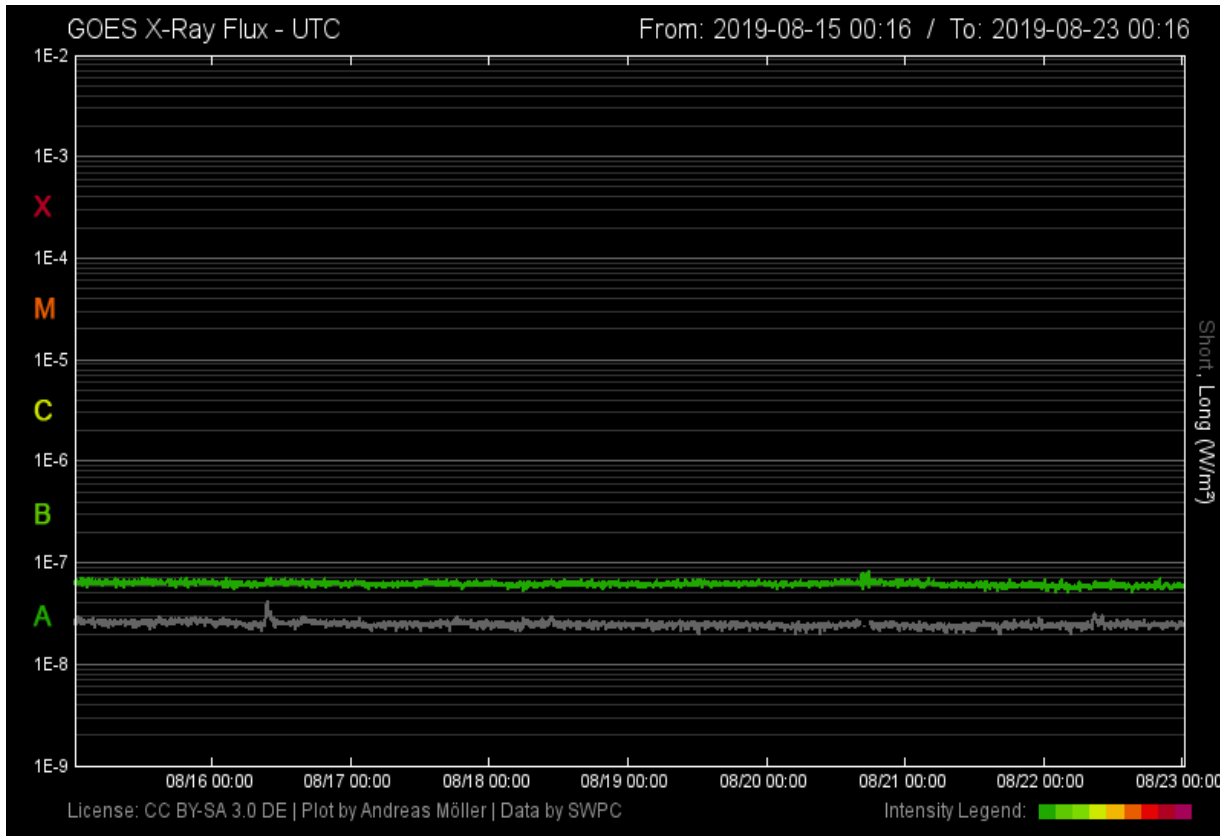
Los hoyos coronales (regiones oscuras) son regiones de campo magnético solar localmente abierto. Los hoyos coronales son fuente de las corrientes de viento solar rápido.

El Sol al 22 de agosto:

Se observan hoyos coronales en los polos y una extensión de gran tamaño en la zona ecuatorial.

<http://sdo.gsfc.nasa.gov/data/>

Actividad solar: Fulguraciones solares



Flujo de rayos X solares detectado por los satélites GOES.

A lo largo de la semana no se detectaron fulguraciones solares.

Imágenes: https://www.polarlicht-vorhersage.de/goes/2019-08-15_001600_2019-08-23_001600.png

Eyecciones de Masa Coronal (EMCs): *observación de coronógrafos*

>> **Agosto 21, 01:25 h⁽⁺⁾**

-EMC lenta y colimada observada por SOHO/LASCO C2.

- Asociada a la erupción de un filamento sobre el limbo solar este y con poca probabilidad de perturbar el entorno geomagnético.

Velocidad ^(*)	224 km/s
Posición angular	62°
Ancho angular	6°

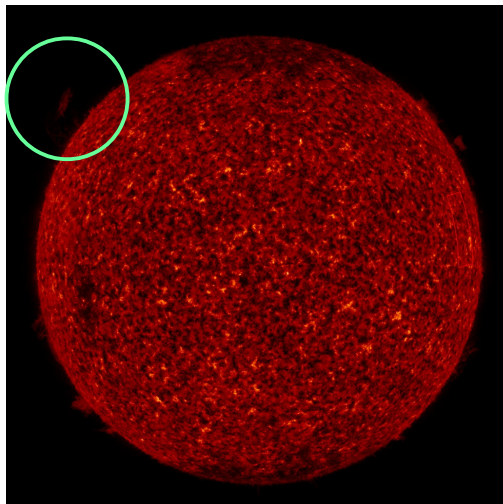
(*)Valores estimados sobre la proyección en el plano del cielo y no en la dirección Sol-Tierra.

(+)Tiempo de inicio de la observación.

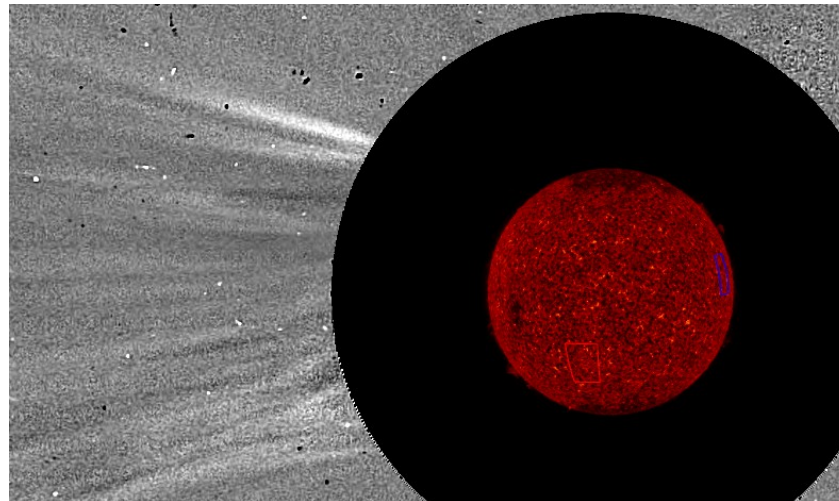
Relevancia

*Eventos eruptivos solares de gran escala asociados a las tormentas geomagnéticas

AIA 304 2019-08-21T01:01:05



AIA 304 2019-08-21T02:02:29
LASCO C2 2019-08-21T02:12:07



LASCO C2
Diferencia de imágenes



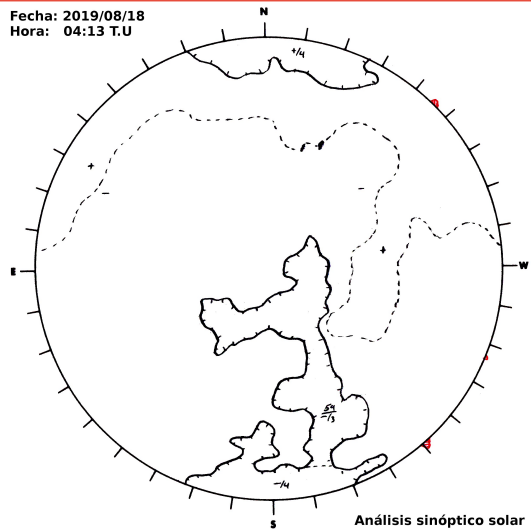
Crédito imágenes y valores estimados:
SOHO, the Solar & Heliospheric Observatory

SDO, Solar Dynamic Observatory

CACTus CME catalog. SIDC at the Royal Observatory of Belgium

Jhelioviewer, ESA/NASA Helioviewer Project .

Medio interplanetario: Región de interacción de viento solar



Del 16 al 22 de agosto no se registró región de interacción (imagen 3), sin embargo se espera la llegada de una corriente rápida en las próximas horas proveniente del hoyo coronal polar de polaridad negativa que se extiende a bajas latitudes tal como se muestra en la imagen 1. En la imagen 2 (área sombreada en amarillo) vemos la hoja de corriente sobre el plano de la eclíptica y en los siguientes días su declive gradual.

Imagen 1: ftp://ftp.swpc.noaa.gov/pub/synoptic_maps/

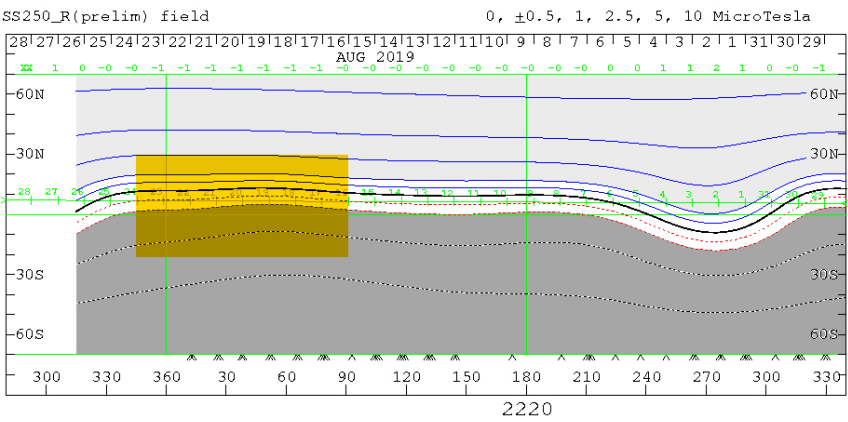
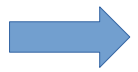


Imagen 2: <http://wso.stanford.edu/SYNOP/>

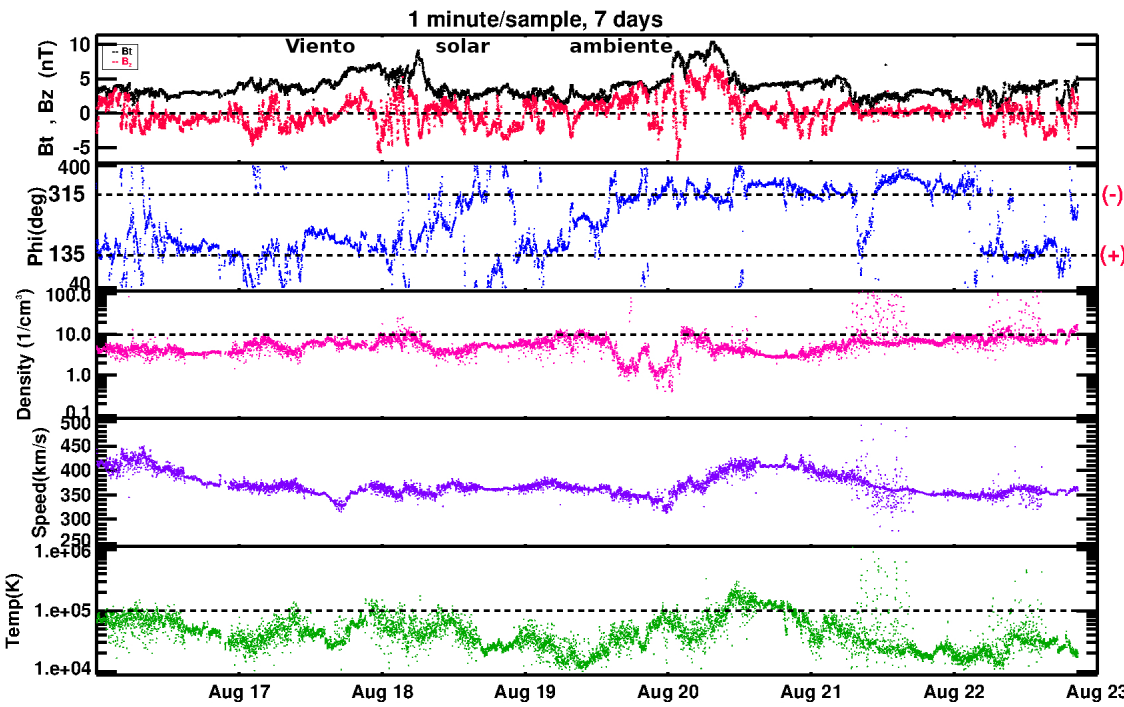


Imagen 3: <http://www.swpc.noaa.gov/products/real-time-solar-wind>

Medio interplanetario: El viento solar cercano a la Tierra

Modelo numérico WSA-ENLIL.

El modelo pronostica un ambiente solar terrestre dominado por corrientes con velocidades de viento solar promedio entre 500 y 550 km/s. La densidad del plasma no presentará incrementos significativos. No se pronostica la llegada de ninguna EMC.

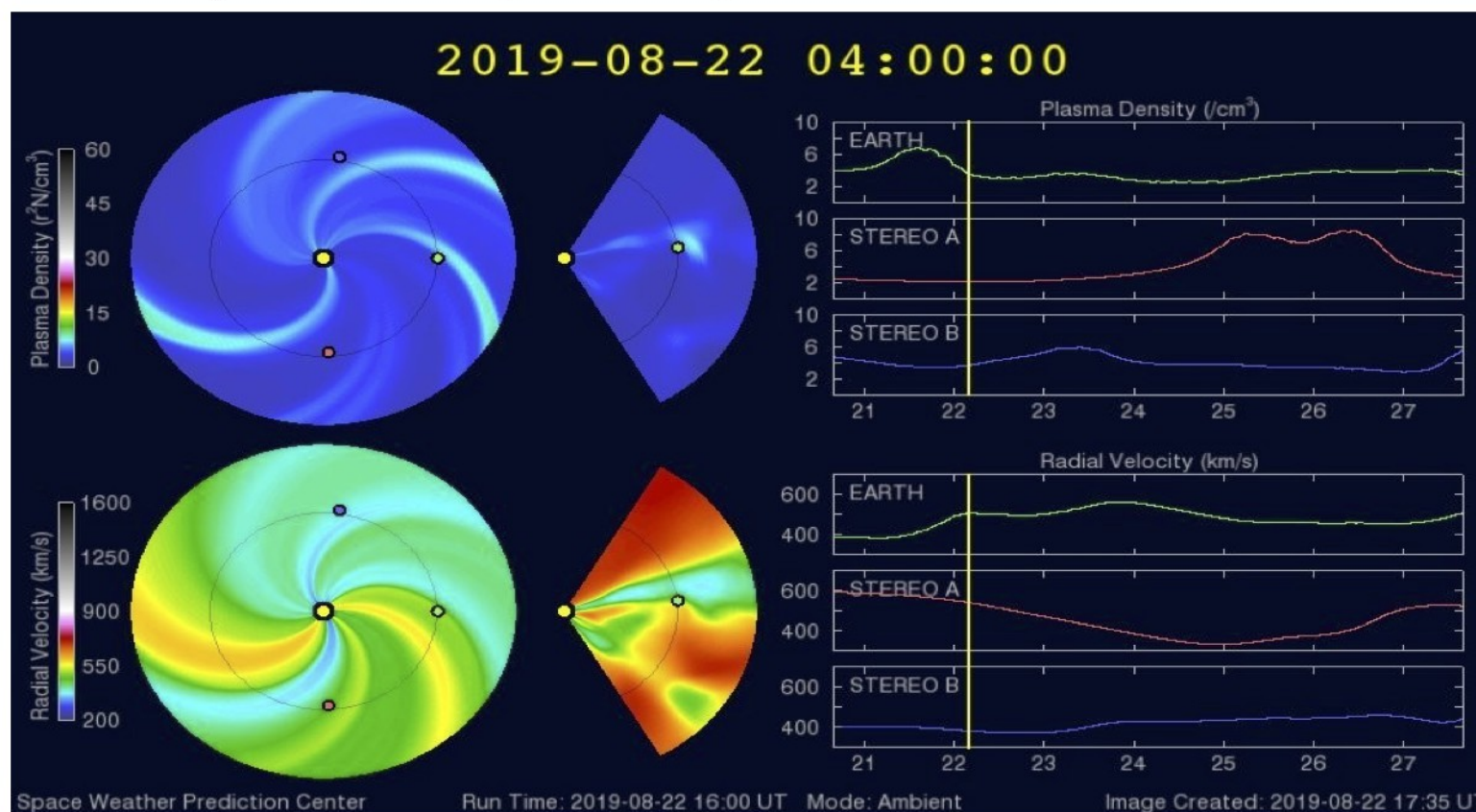
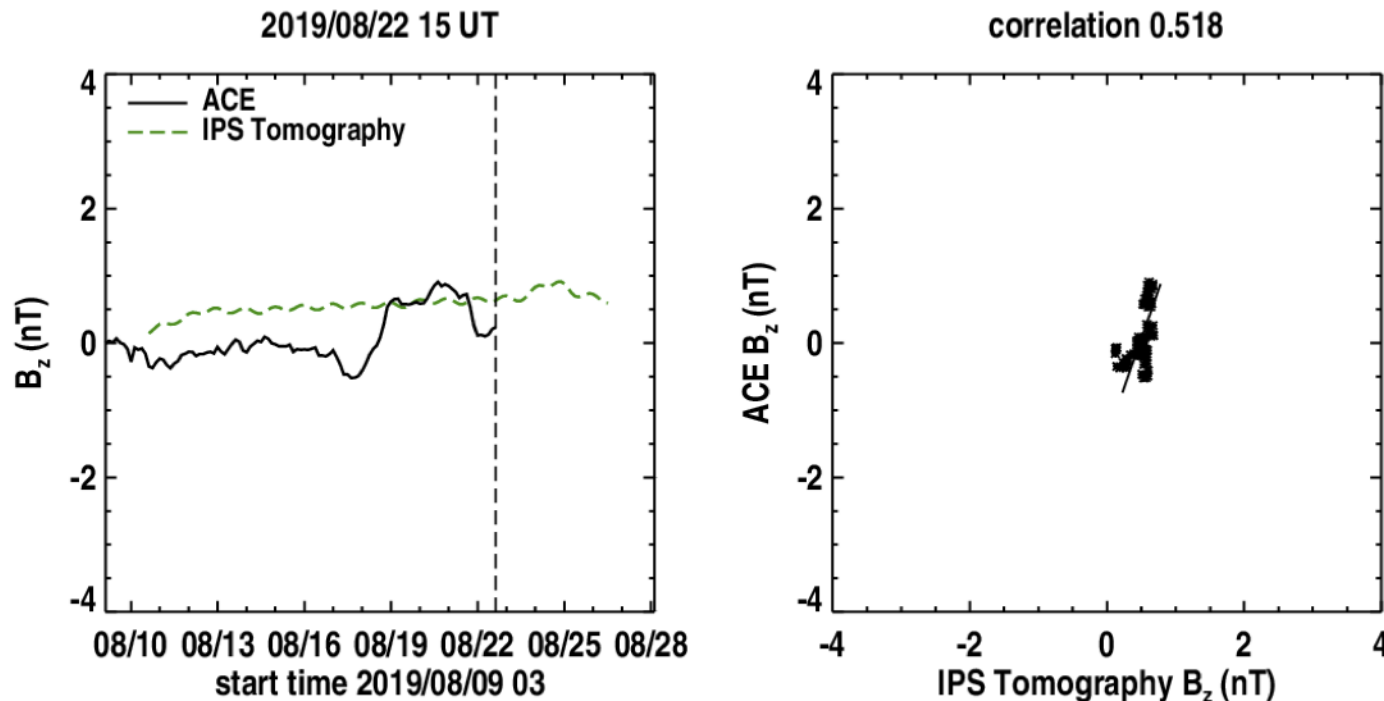


Imagen: <http://www.swpc.noaa.gov/products/wsa-enlil-solar-wind-prediction>

Medio interplanetario: Pronóstico de Bz en L1

Pronóstico de la componente Bz del viento solar cercano a la Tierra usando la tomografía con datos IPS.



(Izquierda) Se pronostica una componente B_z positiva. **(Derecha)** La comparación con las observaciones del Advanced Composition Explorer (ACE) indican una correlación de 0.518 en el último pronóstico.

Imagen: http://ips.ucsd.edu/high_resolution_predictions

Ionósfera sobre México: TEC en el centro del país (datos locales)

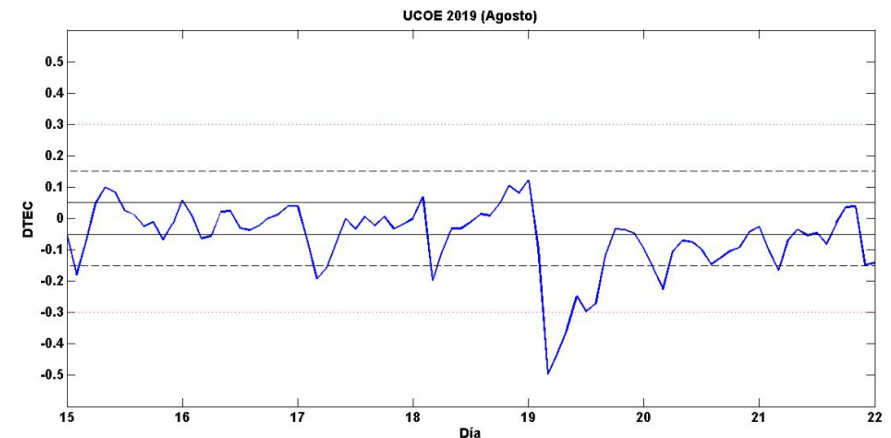
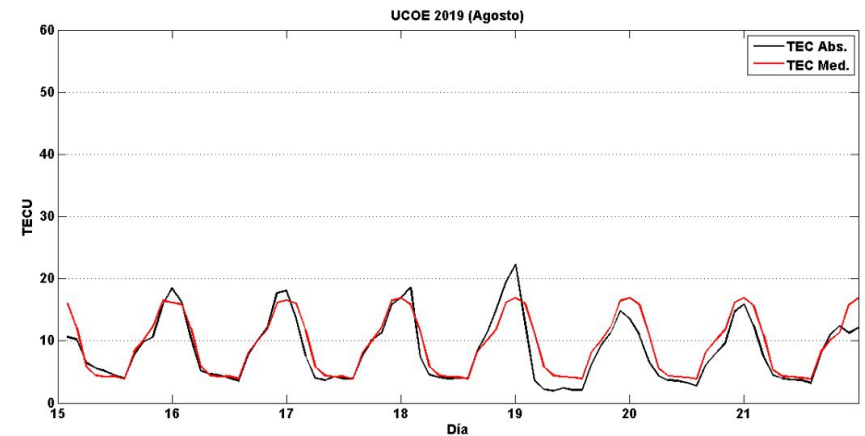
El contenido total de electrones (TEC) es un parámetro que sirve para caracterizar el estado de la ionosfera terrestre.

Serie temporal de los valores de TEC (negro) con referencia a su valor mediano (rojo) durante 15.08.2019-21.08.2019 con base en los datos de la estación local UCOE (TLALOCNet, UNAVCO) en las instalaciones del MEXART.

Desviación de TEC de su mediana de los 27 días anteriores al día de observación con base en los datos de la misma estación.

Según los datos locales, se observaron valores muy bajos de TEC (perturbaciones nocturnas) el 18 de agosto hora local.

El cálculo se realiza en base de TayAbsTEC software del Instituto de Física Solar-Terrestre, Sección Siberiana de la Academia de Ciencias de Rusia. Referencia: Yasyukevich et al., Influence of GPS/GLONASS Differential Code Biases on the Determination Accuracy of the Absolute Total Electron Content in the Ionosphere, *Geomagn. and Aeron.* ISSN 0016-7032, 2015.
Referencia: Gulyaeva et al., CIM-TEC adaptive ionospheric weather assessment and forecast system. doi:10.1016/j.jastp.2013.06.011, 2013.



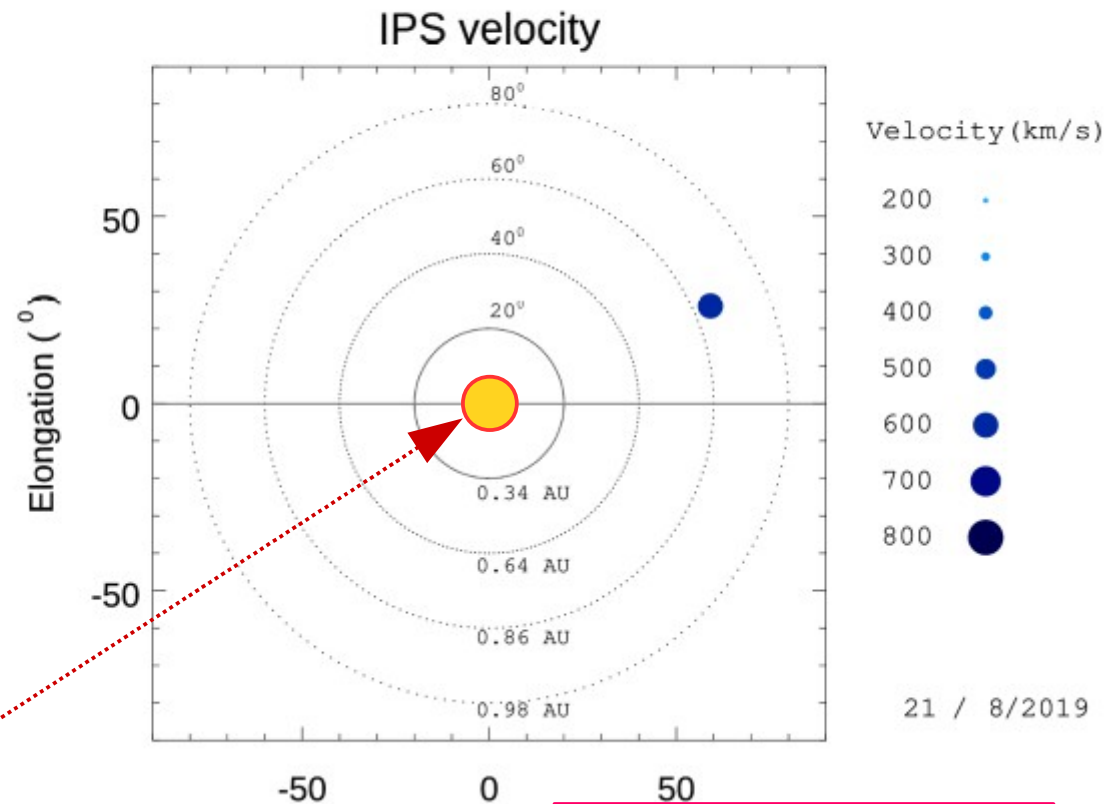
Mediciones de viento solar con MEXART: Centelleo interplanetario

Velocidades de 810, 590, 615 y 610 km/s los días 17, 18, 19 y 21 en zona noroeste a 0.8 UA.

Fuentes de centelleo interplanetario registradas por el MEXART

La imagen muestra círculos azules correspondientes a fuentes de radio, estos objetos son núcleos de galaxias activas actualmente observadas por MEXART.

En la ubicación aparente de los objetos encontramos la velocidad del viento solar.



Sol visto por un observador en Tierra

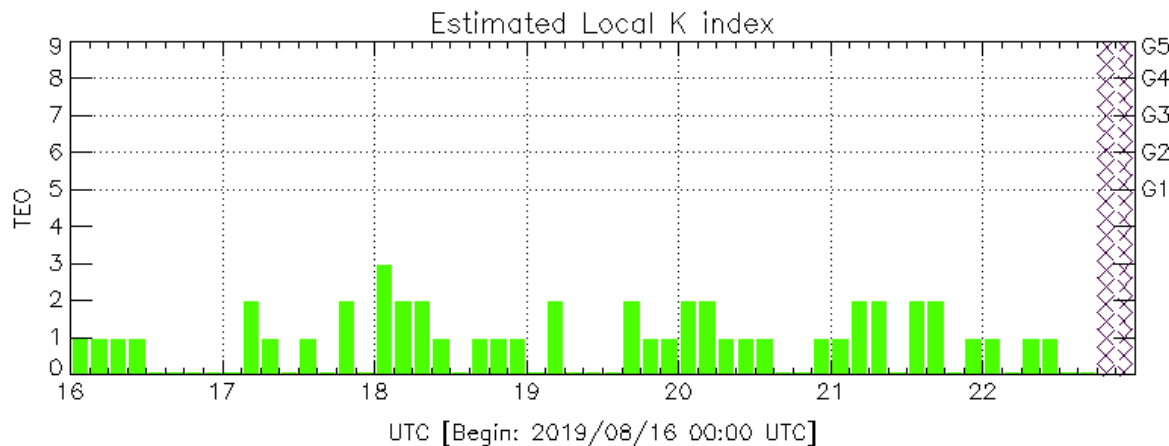
Centelleo ionosférico moderado el día 15

www.mexart.unam.mx

Perturbaciones geomagnéticas: Índices geomagnéticos Kp y Kmex

Imagen: <http://services.swpc.noaa.gov/images/planetary-k-index.gif>

Fue una semana quieta. No se registraron perturbaciones geomagnéticas significativas.

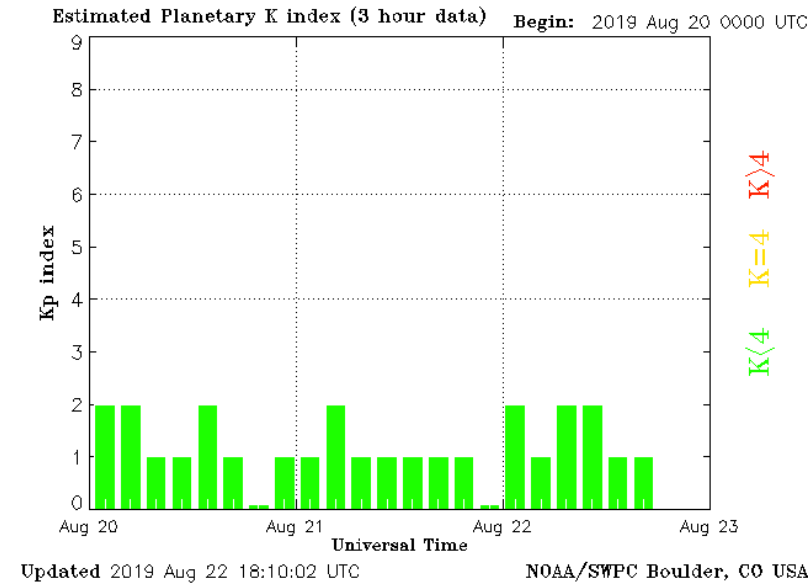


Color Code: ■ quiet, ■ disturbed, ■ storm, XXXX data not available.

TEO: Teoloyucan Geomagnetic Observatory (LAT 19.746, LON -99.193)

LANC E/SCIESMEX - Morelia, Mich., MX

Updated: 2019/08/22-18:00 UTC



Updated 2019 Aug 22 18:10:02 UTC

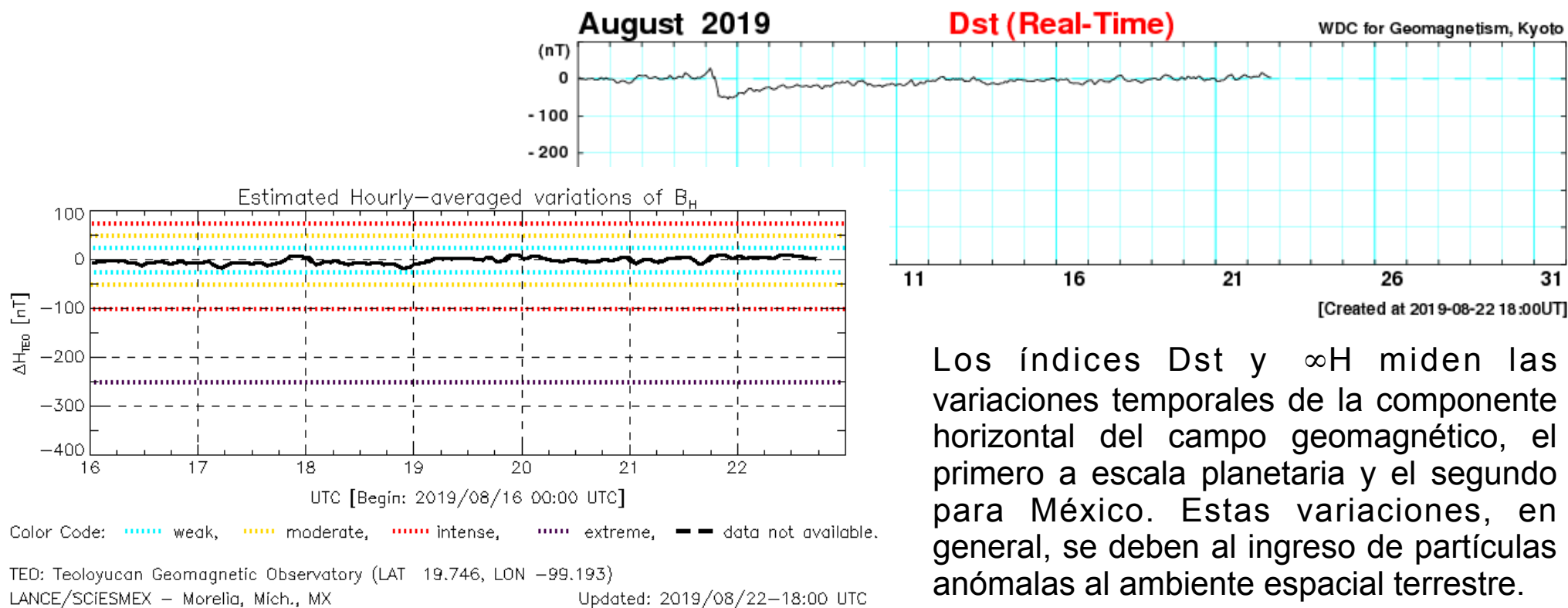
NOAA/SWPC Boulder, CO USA

El índice K indica la intensidad de las variaciones del campo magnético terrestre en intervalos de 3 horas. El índice Kp lo expresa a escala planetaria, mientras que el Kmex lo hace para el territorio mexicano.

Perturbaciones geomagnéticas: Índice Dst y ∞H

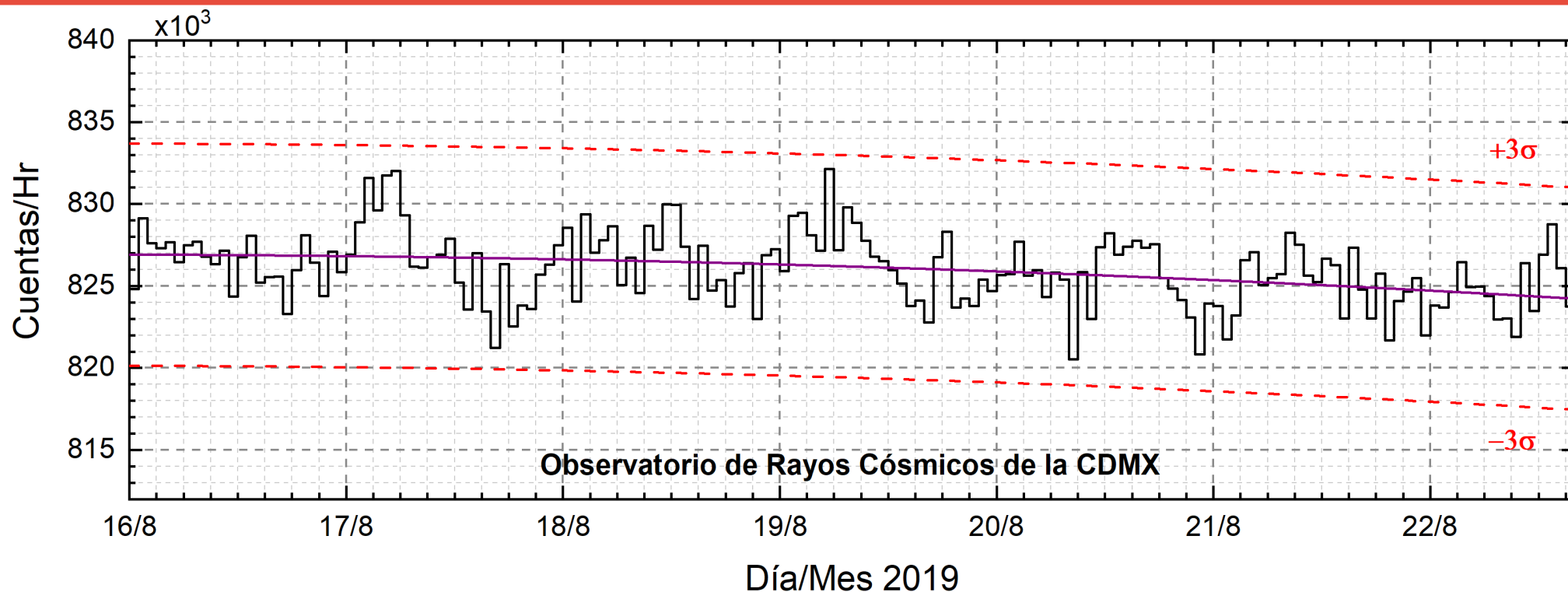
Fue una semana quieta. No se registraron alteraciones significativas.

Imagen: http://wdc.kugi.kyoto-u.ac.jp/dst_realtime/presentmonth/index.html



Los índices Dst y ∞H miden las variaciones temporales de la componente horizontal del campo geomagnético, el primero a escala planetaria y el segundo para México. Estas variaciones, en general, se deben al ingreso de partículas anómalas al ambiente espacial terrestre.

Rayos Cósmicos:



<http://www.cosmicrays.unam.mx/>

Datos del Observatorio de Rayos Cósmicos de la Ciudad de México. La curva púrpura representa el promedio de los datos registrados, las líneas discontinuas rojas representan la significación de los datos (3σ). Cuando se registran variaciones mayores a 3σ , es probable que éstas sean debidas a efectos de emisiones solares en el flujo de rayos cósmicos.

Del 16 al 22 de agosto de 2019, no se detectaron incrementos significativos ($>3\sigma$) en las cuentas de rayos cósmicos.

UNAM/LANCE/SCiESMEX

Dr. J. Américo González Esparza

Dr. Pedro Corona Romero

Dra. Maria Sergeeva

Dr. Julio C. Mejía Ambriz

Dr. Luis Xavier González Méndez

Dr. José Juan González-Avilés

Ing. Ernesto Andrade Mascote

M.C. Pablo Villanueva Hernández

Ing. Adán Espinosa Jiménez

Ing. Juan Luis Godoy Hernández

Dr. Ernesto Aguilar-Rodríguez

Dra. Verónica Ontiveros

Dra. Tania Oyuki Chang Martínez

Ing. Juan José D'Aquino

M.C. Enrique Cruz Martínez

UNAM ENES-Morelia

Dr. Mario Rodríguez Martínez

Dr. Víctor De la Luz Rodríguez

Lic. Aranza Fernández Álvarez del Castillo

UNAM/PCT

Lic. Elizandro Huipe Domratcheva

M.C. Francisco Tapia

M.C. Víctor Hugo Méndez Bedolla

M.C. Elsa Sánchez García

UANL/LANCE

Dr. Eduardo Pérez Tijerina

Dr. Enrique Pérez León

Dr. Carlos de Meneses Junior

Dra. Esmeralda Romero Hernández

UNAM/IGF/RAYOS CÓSMICOS

Dr. José Francisco Valdés Galicia

Fis. Alejandro Hurtado Pizano

Ing. Octavio Musalem Clemente

SERVICIO MAGNÉTICO

M.C. Esteban Hernández Quintero

M.C. Gerardo Cifuentes Nava

Dra. Ana Caccavari Garza

Elaboración: Equipo SCiESMEX

Revisión: Ernesto Aguilar Rodríguez

Agradecimientos

El Laboratorio Nacional de Clima Espacial (LANCE) es parcialmente financiado por: el programa Cátedras CONACYT Proyecto 1045 y el Fondo Sectorial AEM-CONACYT proyecto 2014-01-247722. Agradecemos al proyecto Conacyt - Repositorio Institucional de Clima Espacial 268273. Agradecemos a todos los responsables y colaboradores de instrumentos del LANCE y a las redes de estaciones GPS del Servicio Sismológico Nacional y TalocNET por facilitar sus datos. Agradecemos a Gerardo Cifuentes, Esteban Hernández y Ana Caccavari por los datos del Observatorio magnético de Teoloyucan. De igual forma, agradecemos los servicios de IGS (International GNSS Service) por permitirnos usar los datos IONEX disponibles en: <ftp://cddis.gsfc.nasa.gov/pub/gps/products/ionex>. Los valores de TEC fueron obtenidos a partir de observaciones de las redes GPS del Servicio Sismológico Nacional (SSN), SSN-TLALOCNet y TLALOCNet del Servicio de Geodesia Satelital (SGS). Agradecemos al personal del SSN y del SGS por el mantenimiento de estaciones, la adquisición de datos y el soporte de IT de estas redes. Las operaciones de la red TLALOCNet y SSN-TLALOCNet GPS han sido apoyadas por The National Science Foundation bajo el proyecto EAR-1338091 a UNAVCO Inc., los proyectos CONACyT 253760 y 256012 y los proyectos UNAM-PAPIIT IN109315-3 y IN104818-3 de E. Cabral-Cano y el proyecto UNAM-PAPIIT IN111509 de R. Pérez. De igual forma agradecemos a los proyectos de infraestructura del CONACyT: 253691 y del PAPIIT-DGAPA: IA107116 para el fortalecimiento de equipos como la estación fija de GPS, que forman parte del LACIGE-UNAM, de la ENES unidad Morelia a cargo de M. Rodríguez-Martínez. El cálculo de TEC se realiza: 1) utilizando el software US-TEC que es un producto de operación del Space Weather Prediction Center (SWPC), desarrollado a través de una colaboración entre National Geodetic Survey, National Oceanic and Atmospheric Administration (NOAA) y el Cooperative Institute for Research in Environmental Sciences of the University of Boulder, Colorado, 2) con base en el software TayAbsTEC del Instituto de Física Solar-Terrestre, Sección Siberiana de la Academia de Ciencias Rusa. Parte del procesamiento de datos se lleva a cabo dentro del Centro de Supercómputo de Clima Espacial (CESCOM) del LANCE. Así mismo agradecemos al Space Weather Forecasting Center for Astrophysics & Space Research de la University of California in San Diego y al Korean Space Weather Center por los datos de pronóstico para los modelos WSA-ENLIL y los mapas tomográficos por IPS. Agradecemos a la red e-callisto por los datos proporcionados de espectros electromagnéticos dinámicos de la red internacional de registro de evento de radio solares.

Datos

Imágenes de coronógrafo, flujo de rayos X y modelo WSA-ENLIL:

<http://www.swpc.noaa.gov/products>

<http://iswa.ccmc.gsfc.nasa.gov/IswaSystemWebApp/>

Imágenes de coronógrafo:

<http://sohowww.nascom.nasa.gov/data/>

Imágenes del disco solar y de la fulguración:

<http://www.solarmonitor.org/>

Detección y caracterización de EMCs:

<http://www.sidc.oma.be/cactus/out/latestCMEs.html>

<http://spaceweather.gmu.edu/seeds/>

ISES:

<http://www.spaceweather.org/>

International Network of Solar Radio Spectrometers (e-callisto):

<http://www.e-callisto.org/>

German Research Center For Geosciences Postdam:

<http://www.gfz-potsdam.de/en/sektion/erdmagnetfeld/daten-dienste/kp-index/>

Data Analysis Center for Geomagnetism and Space Magnetism, Kyoto University:

<http://wdc.kugi.kyoto-u.ac.jp/index.html>

UNAVCO:

<http://www.unavco.org>

SSN:

<http://www.sismologico.unam.mx/>

SOHO Spacecraft NASA:

<http://sohowww.nascom.nasa.gov/>

SDO Spacecraft NASA:

<http://sdo.gsfc.nasa.gov/>

Space Weather Prediction Center NOAA:

<http://www.swpc.noaa.gov>

GOES Spacecraft NOAA:

<http://www.ngdc.noaa.gov/stp/satellite/goes/index.html>

ACE Spacecraft NOAA

<http://www.srl.caltech.edu/ACE/ASC/index.html>